

# Interkalacija srebra med naparevanjem na kristale $TaS_2$ , $NbSe_2$ in $NbS_2$

## Intercalation of Silver during Deposition onto $TaS_2$ , $NbSe_2$ and $NbS_2$

Remškar M.<sup>1</sup>, A. Prodan, Z. Škraba, IJS Ljubljana  
V. Marinković, FNT-Oddelek za montanistiko, Ljubljana

*Srebro med naparevanjem na plastne kristale  $TaS_2$ ,  $NbSe_2$ , in  $NbS_2$  interkalira v Van der Waalsove reže med plastmi. Interkalirano srebro v teh kristalih povzroči interpolitipne prehode in nastanek superstruktur, ki so odvisne od sestave. Poleg tega vgrajeno srebro zniža temperature prehodov med fazami valov gostote naboja v kristalih  $TaS_2$ .*

*Ključne besede:* valovi gostote naboja, interkalacija,  $TaS_2$ ,  $NbSe_2$ ,  $NbS_2$ , srebro

*It is shown that during the vapour deposition silver intercalates into the Van der Waals gaps of  $TaS_2$ ,  $NbSe_2$ , and  $NbS_2$  layered crystals. Intercalated silver forms composition dependent superstructures and causes interpoltypic transformations in these compounds and in addition lowers the transition temperatures among various charge density wave phases of  $TaS_2$ .*

*Key words:* charge density waves, intercalation,  $TaS_2$ ,  $NbSe_2$ ,  $NbS_2$ , silver

### 1. Uvod

Plastni kristali dihalkogenidov prehodnih kovin so sestavljeni iz sendvičev halkogen - prehodna kovina - halkogen, ki so lahko zloženi na različne načine, tako da je pri teh kristalih pogost politipizem. Halkogeni, ki tvorijo te plastne strukture, so žveplo, selen in telur, prehodne kovine pa so iz IV.B, V.B, VI.B in VIII. grupe periodnega sistema. Medtem, ko so atomi znotraj sendvičev vezani med seboj z močnimi, pretežno kovalentnimi vezmi, so sendviči med seboj povezani z relativno šibkimi Van der Waalsovimi (VdW) vezmi, zato so ti kristali izrazito anizotropni. Ta dvodimensionalna narava v mnogih primerih povzroči nestabilnost Fermijeve površine, ki se odraža v vzpostavitvi valov gostote naboja (VGN) in modulaciji kristalne rešetke. Druga posledica šibkih vezi med plastmi je možnost interkalacije, t.j. vgrajevanja atomov ali molekul v VdW reže med sendviči. Pri interkalaciji pride do prenosa valenčnih elektronov interkalanta v prevodni pas kristala-gostitelja, tako da šibko VdW interakcijo med sendviči nadomesti znatno močnejša Coulombska interakcija. Pred nedavnim so nekateri avtorji<sup>1</sup> na podlagi rezultatov površinskih spektroskopij pokazali, da lahko poteka interkalacija že med naparevanjem nekaterih kovin na plastne kristale.

dr. fiz. zn. Maja REMŠKAR  
Institut Jožef Stefan  
Jamova 39, 61000 Ljubljana

V tem delu so predstavljeni izsledki elektronske in tunelske mikroskopije ter elektronskega uklona, s katerimi smo dokazali, da srebro že med naparevanjem pri sobni temperaturi interkalira v kristale  $TaS_2$  in  $NbSe_2$  ter pri 420 K tudi v  $NbS_2$ .

V politipu 1T- $TaS_2$  z oktaedrsko koordinacijo tantalovih atmov se v različnih temperaturnih intervalih pojavijo kar štiri različne faze valov gostote naboja<sup>2</sup>, ki se med seboj razlikujejo predvsem po stopnji komenzurabilnosti z osnovno strukturo  $TaS_2$ . Pri sobni temperaturi je v kristalu skoraj komenzurabilna faza VGN, za katero je značilna superstruktura  $\sqrt{13}a$ , ki je za  $\pm 13.9^\circ$  (oz. B domena) zasukana glede na osnovno mrežo  $TaS_2$ .

Kristali  $NbSe_2$  imajo trigonalno prizmatično koordinacijo niobijevih atomov. Valovi gostote naboja se pojavijo šele pod 35 K, tako da pri sobni temperaturi lahko opazujemo kristal visoko nad kritično temperaturom<sup>3</sup>.

Tudi kristali  $NbS_2$  imajo trigonalno prizmatično koordinacijo niobijevih atomov, vendar kljub strukturni sorodnosti z  $NbSe_2$  v teh kristalih niso našli VGN<sup>4</sup>.

### 2. Priprava monokristalov in naparevanje srebra

Monokristale  $TaS_2$ ,  $NbSe_2$  in  $NbS_2$  smo pripravili s kemjskim transportom<sup>5</sup> v 16–20 cm dolgih kvarčnih ampulah, ki so bile izčrpane na tlak  $10^{-5}$  mbar. V ampulu smo zatalili predhodno sintetiziran dihalkogenid in 3 do 5 mg joda. V dvoconski peči

so pri temperaturnem gradientu  $2^\circ/\text{cm}$  na hladnejšem delu ampule (1120 K za  $TaS_2$  in  $NbSe_2$ , ter 1070 K za  $NdS_2$ ) zrasli do  $0.5 \text{ cm}^2$  veliki in do nekaj desetink mm debeli ploski kristali.

Srebro smo naparili pri tlaku  $10^{-5} \text{ mbar}$  iz uporovno segretih molibdenovih čolničkov na sveže razkolne ploskve kristalov pri 300, 420, 470, 520 in 570 K. Nominalne debeline plasti, izmerjene s kremenovo tehtnico, so bile 0.5, 2 in 5 nm.

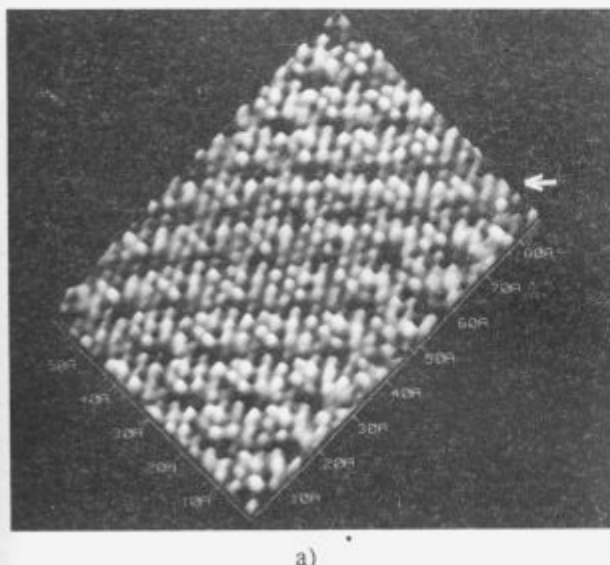
### 3. Strukturne spremembe, ki jih je povzročilo interkalirano srebro

Interkalacija srebra povzroči dva pomembna efekta:

- lokalne spremembe politipa kristala
- znižanje temperature prehodov med različnimi fazami valov gostote naboja.

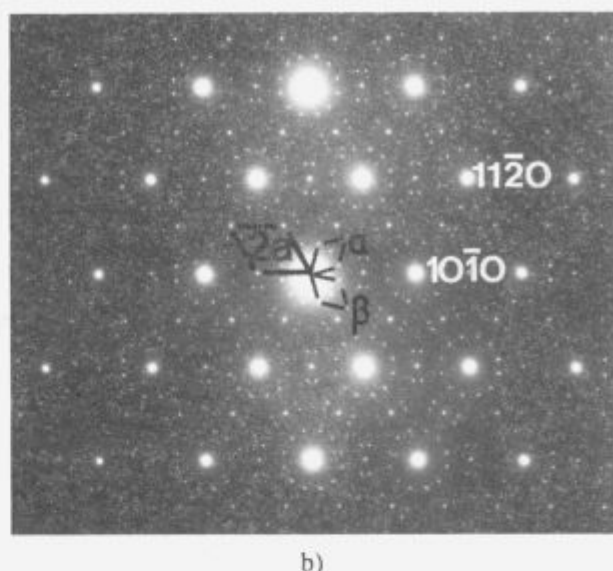
Srebro, interkalirano v  $TaS_2$ , povzroči v vsakem drugem sendviču spremembo oktaedrske koordinacije v trigonalno prizmatično, tako da se lokalno ob zadostni koncentraciji interkaliranega srebra pojavi področja s strukturo politipa 4Hb, pri kateri se sendviči s trigonalno prizmatično koordinacijo izmenjujejo s tistimi z oktaedrsko. Prenos naboja z atomov srebra v delno zasedene orbitale atomov tantalja povzroči Coulombski odboj med vedno večjim številom zasedenih orbital. V začetni strukturi, pri kateri so atomi tantalja drug nad drugim vzdolž kristalografske osi c, pride do strižnih pomikov sendvičev vzdolž smeri  $[1\bar{1}0]$  za  $a/\sqrt{3}$ , kar povzroči nastanek politipa 6R.

Oba nastala politipa se razlikujeta v zlogu sendvičev, tako ju zgolj na podlagi tunelske slike površine (0001) (slika 1a) ni mogoče razlikovati. Interkalirano srebro se v VdW režah ureja in povzroča superstrukturu  $\sqrt{3}a$  ali  $2a$ , ki pa enolično določajo nastali politipi. Superstruktura  $\sqrt{3}a$  je posledica ureditve srebra v oktaedrskih intersticijah VdW rež tipa  $NbS_2$ , ki so prisotne v obeh politipih, medtem ko superstruktura  $2a$  dokazuje ureditev srebra v tetraedrskih intersticijah VdW rež tipa  $MoS_2$ , ki so značilne le za politip 6R. Na sliki 1b je superstruktura  $2a$  v politipu 6R- $TaS_2$ , ki jo je povzročilo urejanje srebra po ohladitvi kristala pod 90 K.



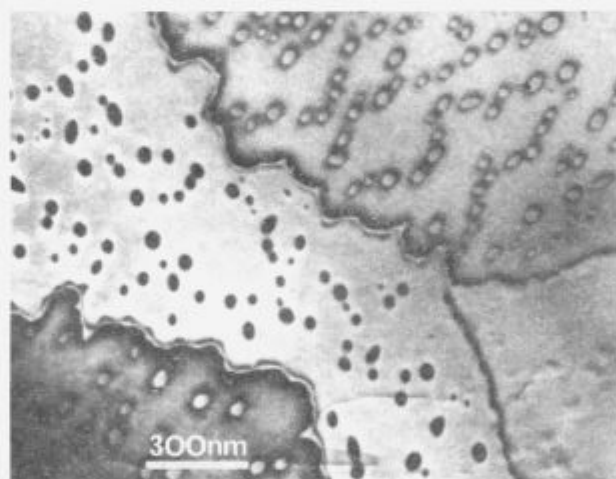
**Slika 1a:** Tunelska slika valov gostote naboja v 4Hb oz. 6R- $TaS_2$ . S puščico je označena meja med dvema domenama, ki sta med seboj premaknjeni za  $a$  vzdolž smeri  $[1\bar{1}0]$ .

**Figure 1a:** A scanning tunneling micrograph of charge density waves in 4Hb or 6R- $TaS_2$ . The arrow shows a wall between two domains displaced by  $a$  along the  $[1\bar{1}0]$  direction



b)

**Slika 1b:** Superponirani uklonski sliki domen  $\alpha$  in  $\beta$  s superstrukturo  $\sqrt{3}a \times \sqrt{3}a$ , značilno za 4Hb oz. 6R- $TaS_2$  in superstruktura  $2a$ , ki jo povzroči urejanje interkaliranega srebra le v VdW režah politipa 6R. **Figure 1b:** Superimposed diffraction patterns of  $\alpha$  and  $\beta$  domains characterized by the  $\sqrt{3}a \times \sqrt{3}a$  superstructure of 4Hb or 6R- $TaS_2$ , and the  $2a$  superstructure caused by the ordered intercalated silver in the VdW gaps of the 6R polytype



**Slika 2:** Parcialne dislokacije in dislokacijske zanke s komponento Burgersovega vektorja vzdolž smeri  $[1\bar{1}0]$  v kristalih  $NbS_2$  po naparevanju srebra pri 420 K.

**Figure 2:** Partial dislocations and dislocation loops with a component of the Burger's vector along  $[1\bar{1}0]$  direction in  $NbS_2$  crystals after silver deposition at 420 K

Druga pomembna posledica interkalacije je znižanje temperatur prehodov med različnimi fazami VGN, ki pri sobni temperaturi stabilizira visokotemperaturno inkomenzurabilno fazo. V neinterkaliranem kristalu se ta faza pojavi šele nad 350 K.

V kristalih  $NbSe_2$  in  $NbS_2$  interkalirano srebro povzroči lokalne spremembe zloga sendvičev. V elektronsko mikroskopski sliki so vidne parcialne dislokacije in dislokacijske zanke s komponento Burgersovega vektorja  $[1\bar{1}0]$  (slika 2). Te transformacijske dislokacije predstavljajo mejo med področji z različno koncentracijo srebra in zato z različnim lokalnim zlogom.

Z urejanjem interkaliranega srebra se v netransformiranih področjih kristala pojavi superstruktura  $\sqrt{3}a$ , medtem ko je superstruktura  $2a$  posledica urejanja srebra v že transformiranem delu kristala.

#### 4. Zaključek

Srebro interkalira v VdW reže plastnih kristalov TaS<sub>2</sub>, NbSe<sub>3</sub>, in NbS<sub>2</sub>, že med naparevanjem. S površinsko migracijo doseže najbližje razkolne stopnice na naparjeni površini kristala in se vrine v reže pri dnu teh stopnic. V pravokotni smeri difundira vzdolž vijačnih dislokacij, ki se končajo na naparjeni površini kristala. V VdW režah med plastmi se ureja ter povzroča nastanek superstruktur. Prenos naboja z atomov srebra v zadnji delno zasedeni energijski pas prehodne kovine povzroči lokalne spremembe politipa kristala-gostitelja in znižanje temperatur prehodov med fazami valov gostote naboja v TaS<sub>2</sub>.

#### 5. Literatura

- 1 M. Bronold, C. Pettenkofer, and W. Jaegermann, Alkali metal intercalation into SnS<sub>2</sub>, *Appl. Phys.*, A52, 1991, 171
- 2 R. E. Thomson, U. Walter, E. Ganz, J. Clarke, A. Zettl, P. Rauch and F. J. DiSalvo, Local charge-density-wave structure in T-TaS<sub>2</sub> determined by scanning tunneling microscopy, *Phys. Rev. B*, 38, 1988, 10734
- 3 R. V. Coleman, B. Giambattista, P. K. Hansma, A. Johnson, W. W. McNairy and C. G. Slough, Scanning tunnelling microscopy of charge-density waves in transition metal chalcogenides, *Adv. Phys.*, 37, 1988, 559
- 4 R. Nitsche, The transport of single crystals of binary and ternary chalcogenides by chemical transport reactions, *J. Phys. Chem. Solids*, 17, 1960, 163
- 5 G. A. Scholz, R. F. Frindt, and A. E. Curzon, Electron diffraction investigation of Ag<sub>x</sub>TaS<sub>2</sub> system, *Phys. stat. sol.(a)*, 71, 1982, 531; *Phys. stat. sol.(a)*, 72, 1982, 375